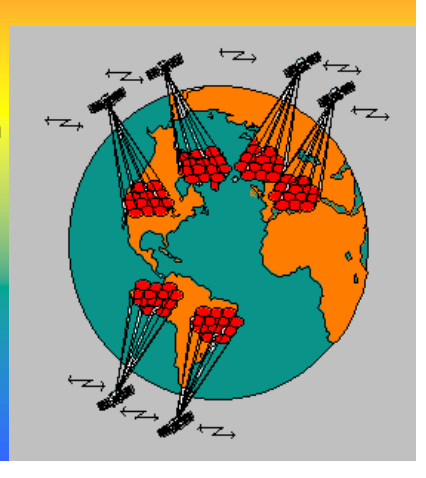


Objetivos

A partir de las imágenes ASTER 039 y 023:

- Diferenciar unidades geológicas
- Reconocer zonas de alteración hidrotermal
- Identificar minerales de alteración



<u>ASTER</u>

(Advanced Spacebome Thermal Emission and Reflection radiometer)

- Sensor multiespectral
- Resolución espacial: 15m VNIR, 30m SWIR, 90m TIR
- Cobertura por escena: 60 km

Ventajas:

- •Alta resolución espectral en el VNIR y SWIR, por la presencia de mayor cantidad de bandas en cada rango
- •Alta resolución espectral para clasificar los minerales de alteración



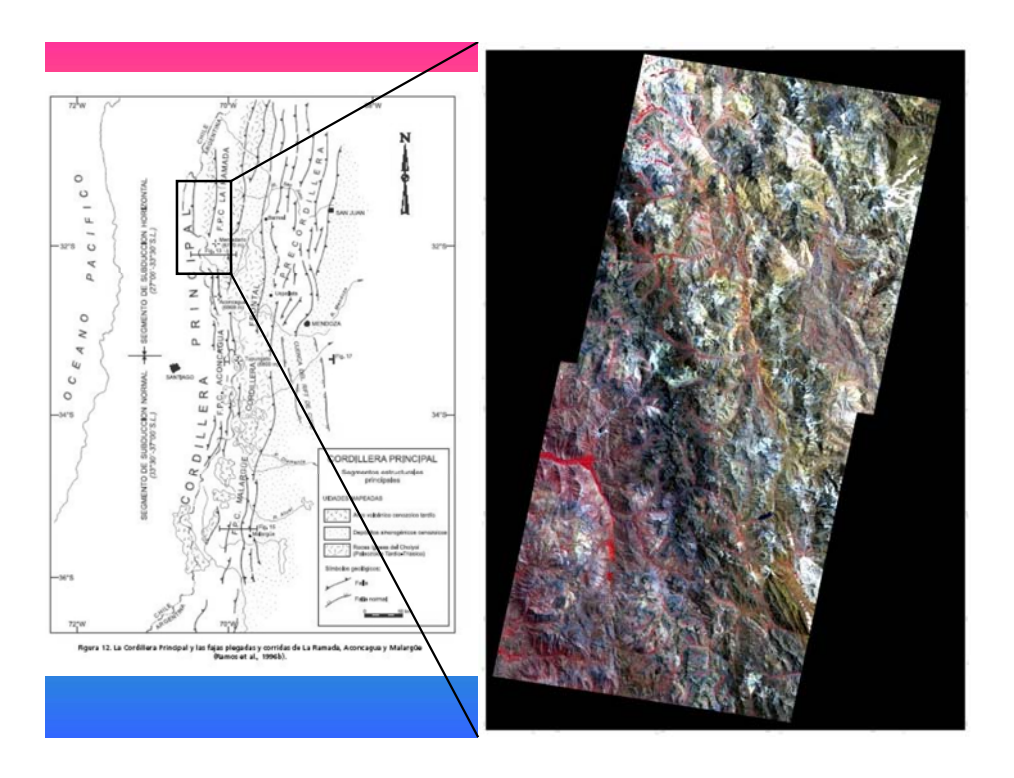


- Procesamiento de imagen con el programa ENVI 4.3
- Abrimos las bandas del VNIR
- Guardamos el archivo con extensión <u>.img</u> importando las bandas desde el menú principal como envi standard
- Se repiten los pasos anteriores para las bandas del SWIR
- Se realizó un layer stacking para crear un archivo único con todas las bandas, unificando el tamaño de los pixeles en 15 metros y utilizando como método de extrapolación el cubic convolution
- Se agregó en el *header* la longitud de onda para cada banda

<u>Mosaico</u>

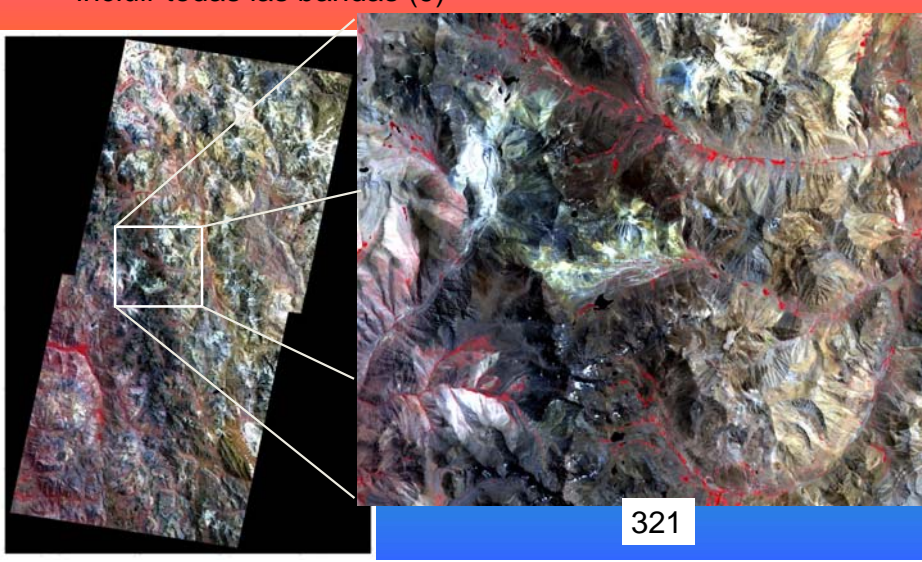
- Método de resampling: Nearest Neighbor
- Feathering: 15

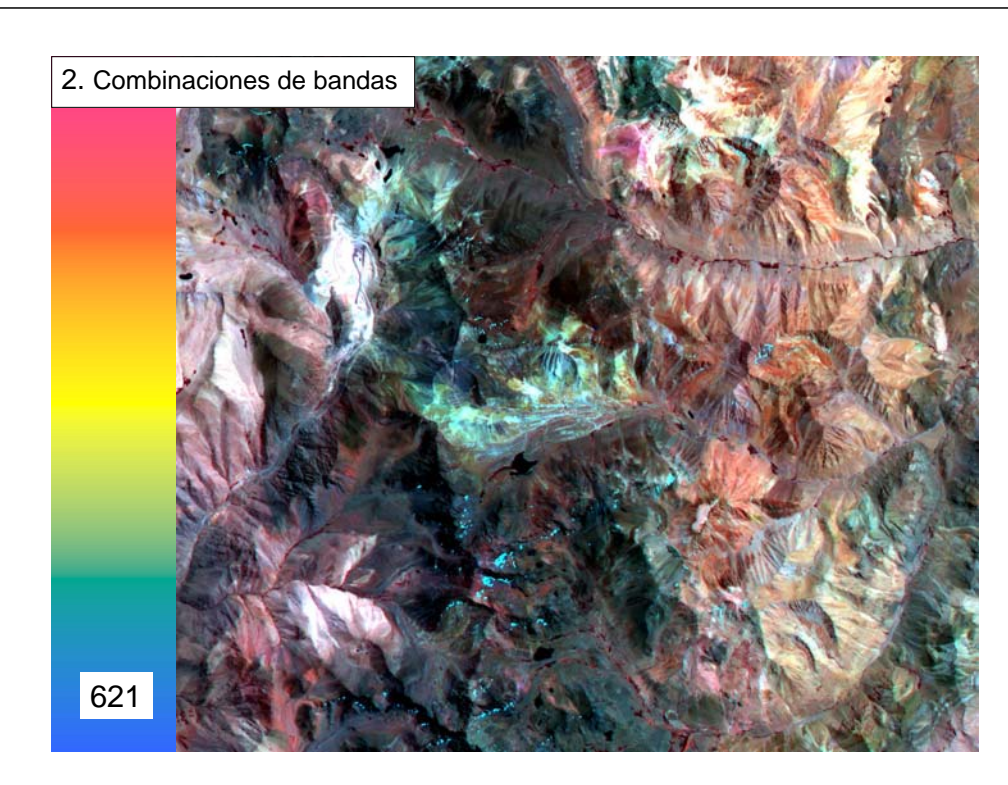


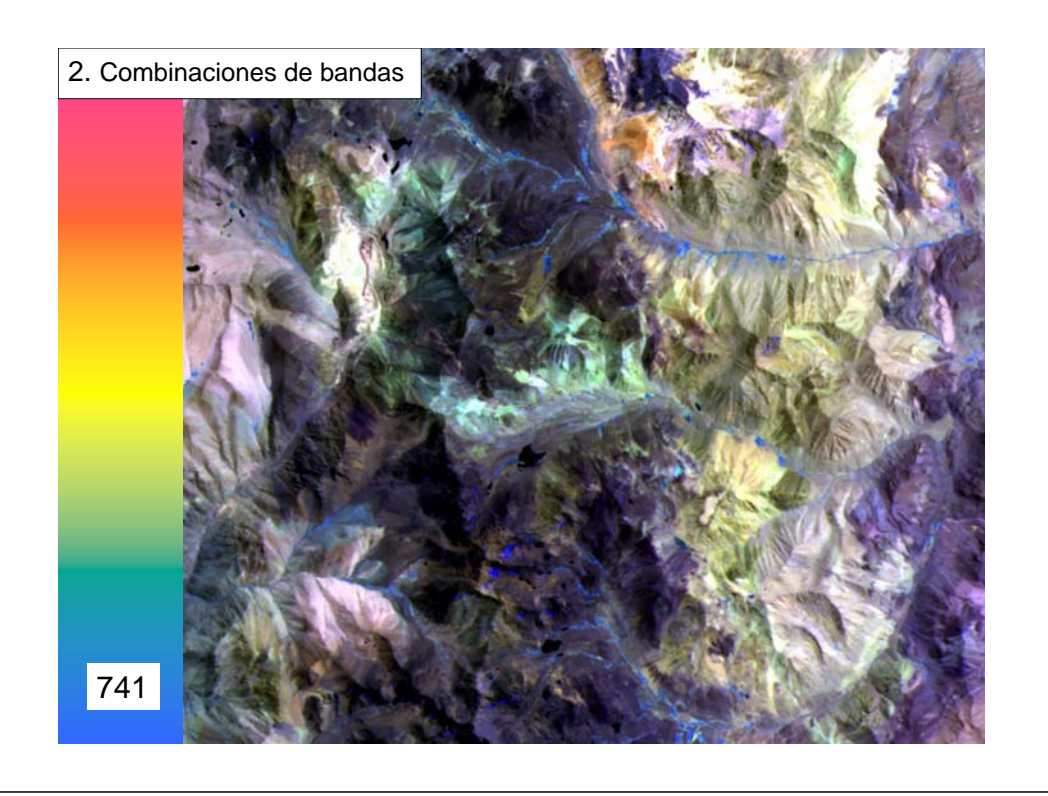


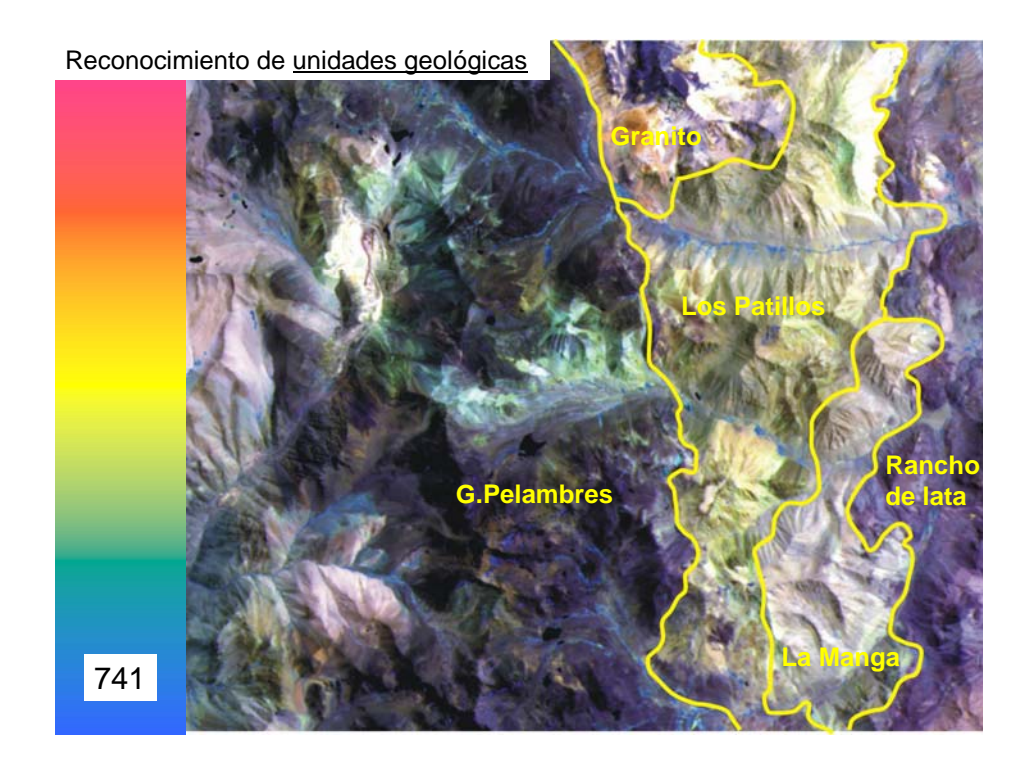
Reconocimiento de unidades geológicas

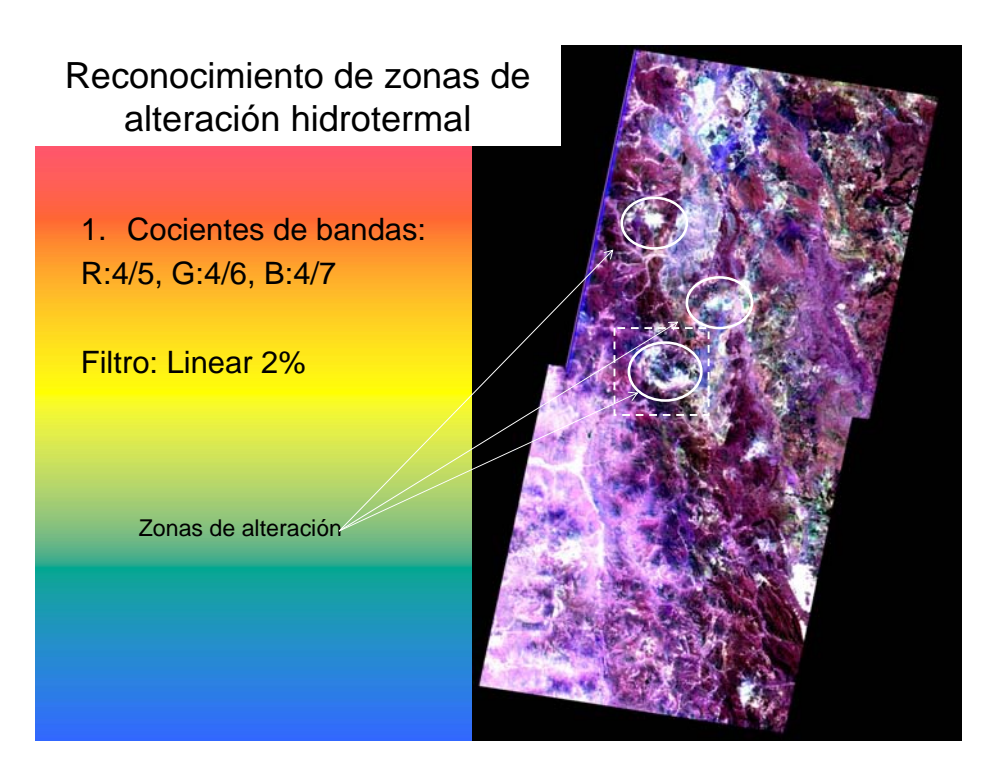
1. Cortamos la imagen desde el menú principal para incluir todas las bandas (9)

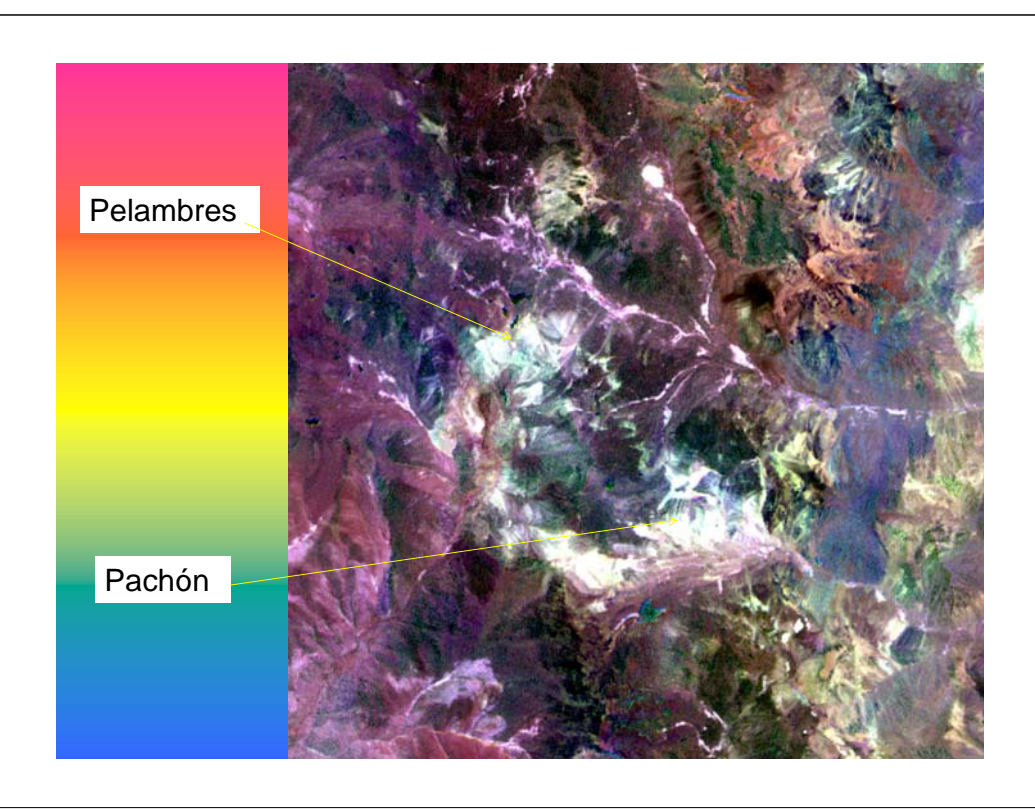








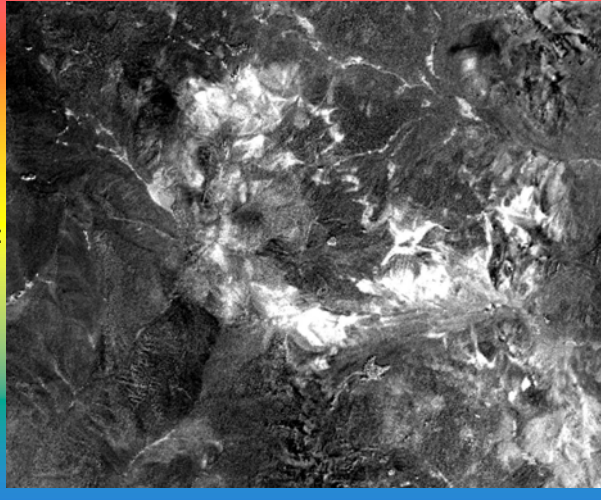




Reconocimiento de minerales de alteración (Ninomiya, 2004)

- Se procesó la imagen realizando el cálculo de Emisividad
- ldentificación de los minerales con picos de absorción en la Banda 6: montmorillonita y sericita

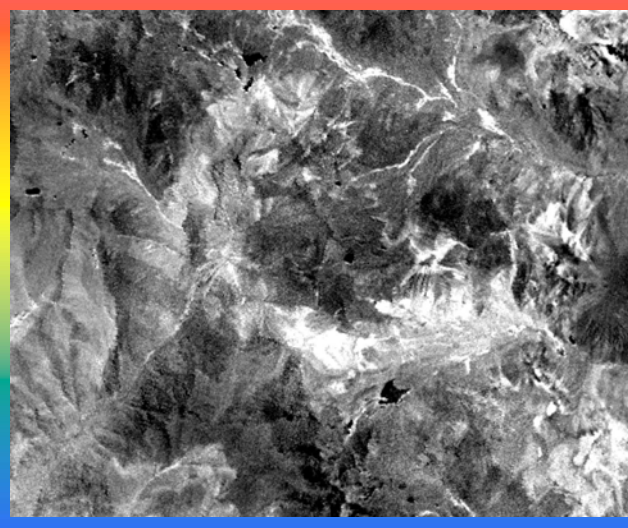
OHI(a):(B4*B7)/(B6*B6)



Reconocimiento de minerales de alteración (Ninomiya, 2004)

 Identificación de los minerales con picos de absorción en la Banda 5: pirofilita

OHI (b): (B4*B7)/(B5*B5)



Reconocimiento de minerales de alteración (Ninomiya, 2004)

 Identificación de los minerales con picos de absorción en la Banda 8: alunita

ALI: (B7*B7)/(B5*B8)

